

2022 하계 세미나

# Face Anti-Spoofing

---



*Sogang University*

*Vision & Display Systems Lab, Dept. of Electronic Engineering*



*Presented by*

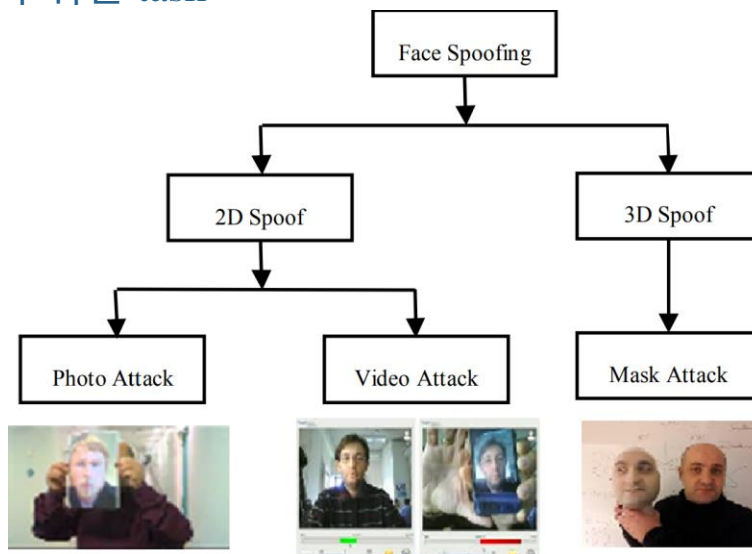
전창렬

# Outline

- Background
  - What is face anti-spoofing?
  - Learn Convolutional Neural Network for Face Anti-Spoofing
  
- Face anti-spoofing
  - Domain generalization
    - Domain Generalization via Shuffled Style Assembly for Face Anti-Spoofing (CVPR 2022)
  - Fine-grained recognition
    - PatchNet: A Simple Face Anti-Spoofing Framework via Fine-Grained Patch Recognition (CVPR 2022)

# Background

- What is face anti-spoofing?
  - 안면 인식은 얼굴을 통해 사람을 식별하거나 특정인의 신원을 인증하는 방법
  - 안면 인식 알고리즘 기술은 AI 기반으로 학습 되기 때문에 이미징 프로세스와 피사체에 따라 상당한 비율의 오류가 발생
  - 이를 활용하여 악의적인 목적을 가지고 타인의 신분으로 위장하는 범죄가 발생
  - Face anti-spoofing은 이러한 spoof attack을 인식하고 실제 얼굴과 구별해내어 안전성을 확보하기 위한 task



<face spoofing 개요>

# Background

- Binary classification-based face anti-spoofing

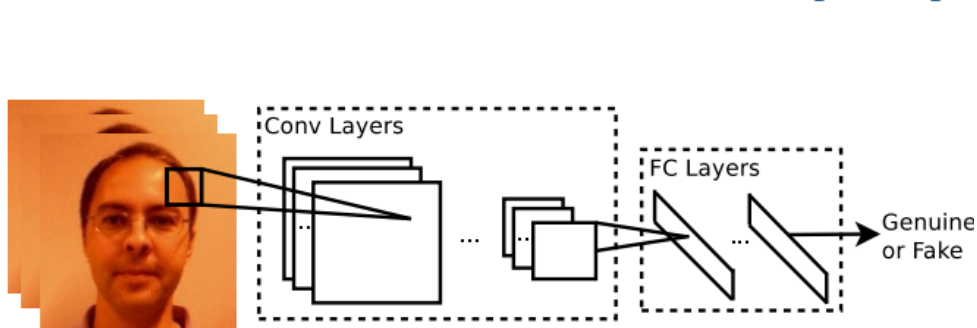
- Face anti spoofing은 기본적으로 live face와 presentation attack 2가지 경우를 구분하는 binary classification 관점

- 이와 같은 binary classification 관점은 2가지 문제가 존재

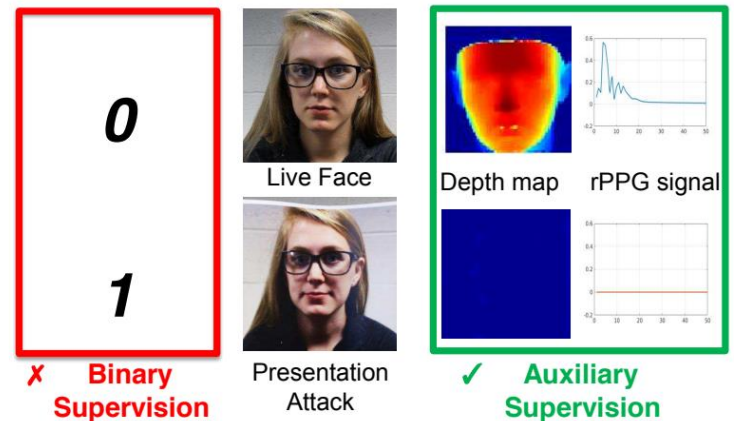
- Spoofing pattern에 따라 이미지 degradation 정도가 달라지는데 학습에 사용된 data로 모든 spoofing pattern에 대한 generalize가 어려움

- 단순히 image를 binary supervision을 통해 분류하는 것이기 때문에 결과에 대한 해석이나 이유가 따르지 않음

- 따라서 해당 분야의 연구에서는 Depth map 등의 추가 정보가 활용되기도 함



<binary classification을 통한 face anti-spoofing>

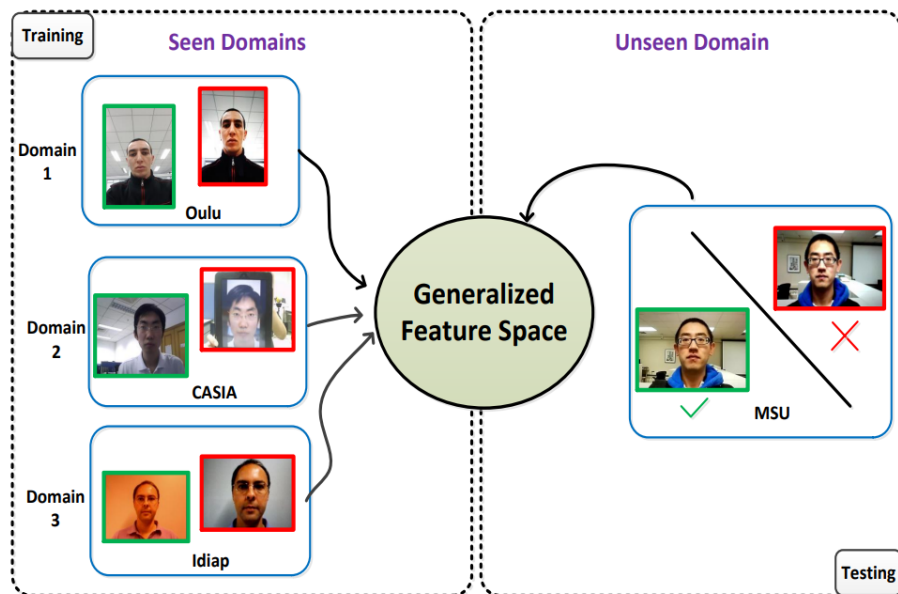


<Auxiliary supervision을 활용한 face anti-spoofing>

# Face anti-spoofing (FAS)

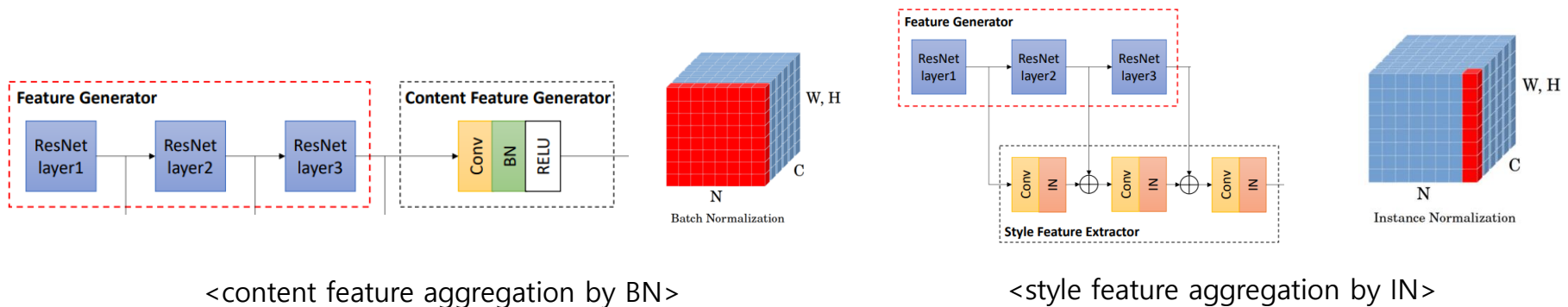
- Domain Generalization via Shuffled Style Assembly for Face Anti-Spoofing

- 기존의 FAS 기법들은 intra-domain 환경에서 높은 성능을 얻었으나 cross-domain setting에서 성능 저하가 발생
  - 학습 데이터 수와 네트워크의 capability의 한계로 인한 문제
  - 이로 인해 모델이 dataset bias의 영향을 받으며, 새로운 domain에 대한 generalization이 잘 되지 못함
- 이러한 문제를 해소하기 위해 domain generalization 기법을 도입하는 연구가 진행



# Domain Generalization via Shuffled Style Assembly for Face Anti-Spoofing

- Content and style information aggregation
  - 이미지는 이미지의 외형을 표현하는 contents와 texture등을 표현하는 style로 구성
    - FAS task에서는 이미지의 content information은 common factor로 존재
    - 이미지의 style information은 FAS에서 discriminative cue를 제공하는 특성
    - 따라서 해당 논문에서는 content와 style에 따로 각각의 information aggregation을 진행
      - ※ Content information은 BN을 통하여 global image statistics를 획득함으로써 얻음
      - ※ Style information은 IN을 통하여 개별 sample의 statistics를 획득함으로써 얻음



<content feature aggregation by BN>

<style feature aggregation by IN>

# Domain Generalization via Shuffled Style Assembly for Face Anti-Spoofing

- Content and style information aggregation
  - Content information aggregation

- Content information에서는 domain간의 distribution discrepancies가 작다고 추측

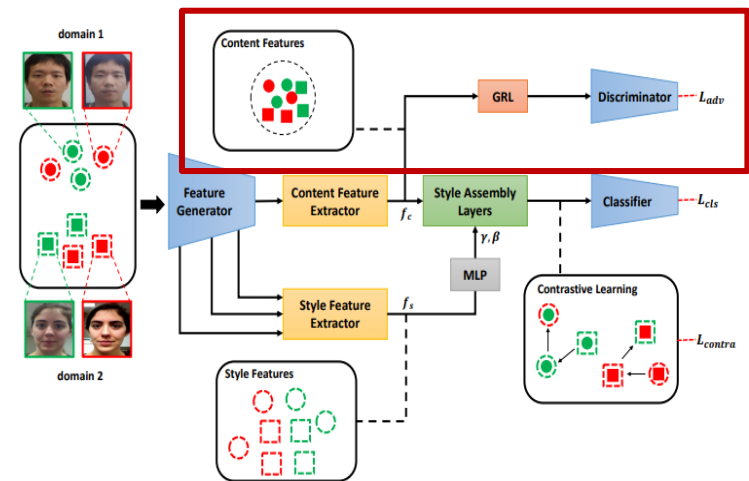
※ Domain에 무관하게 데이터들은 모두 facial area를 다루고 있기 때문에 유사한 content feature를 가질 것

※ Bona fide or attack presentation에 무관하게 shape나 size와 같은 attribute는 유사할 것

- 따라서 content 간의 차이가 네트워크에 영향을 미치지 않도록 adversarial 학습을 진행

$$\min_D \max_G L_{adv}(G, D) = -\mathbb{E}_{(x,y) \sim (X, Y_D)} \sum_{i=1}^M \mathbb{1}[i=y] \log D(G(x))$$

<adversarial loss>



<Content information aggregation>

# Domain Generalization via Shuffled Style Assembly for Face Anti-Spoofing

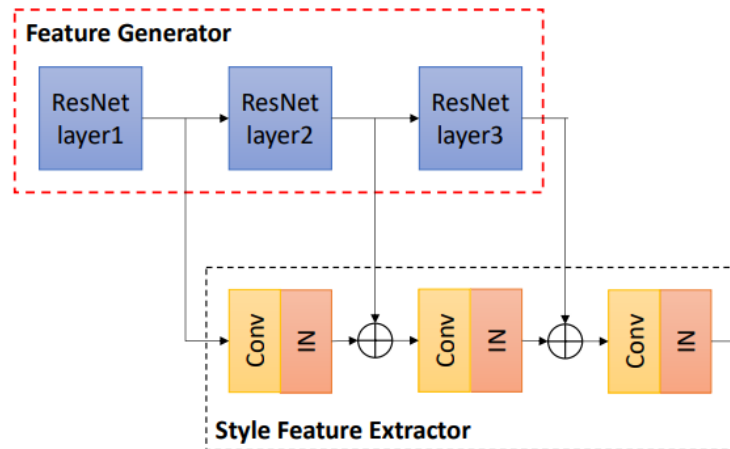
- Content and style information aggregation
  - Style information aggregation

- Style information은 hierarchical 구조를 통해 multi-layer feature를 모아서 진행

※ Style은 scale 별로 각기 다른 특징을 포함하고 있음

✓ 밝기 정보는 주로 feature의 broad-scale에 포함

✓ Texture와 같은 정보는 이미지의 local-scale에서 담고 있음



<Style information aggregation>



# Domain Generalization via Shuffled Style Assembly for Face Anti-Spoofing

- Shuffled style assembly
  - Style feature가 MLP를 통과하여 AdaIN에 적용하기 위한 affine parameter  $\gamma, \beta$  추출
  - 3x3 convolution을 적용한 content feature에 AdaIN을 적용하여 intermediate variable  $z$ 를 얻음
  - $z$ 에 추가로 3x3 convolution이 적용되고 AdaIN + content feature를 적용해 style assemble이 적용

$$\text{AdaIN}(x, \gamma, \beta) = \gamma \left( \frac{x - \mu(x)}{\sigma(x)} \right) + \beta$$

$$\gamma, \beta = \text{MLP}[\text{GAP}(f_s)],$$

$$z = \text{ReLU}[\text{AdaIN}(K_1 \otimes f_c, \gamma, \beta)].$$

$$\text{SAL}(f_c, f_s) = \text{AdaIN}(K_2 \otimes z, \gamma, \beta) + f_c,$$

$$S(x_i, x_i) = \text{SAL}(f_c(x_i), f_s(x_i))$$

$$S(x_i, x_{i^*}) = \text{SAL}(f_c(x_i), f_s(x_{i^*}))$$

$$i^* \in \text{random}\{1, 2, \dots, N\}$$

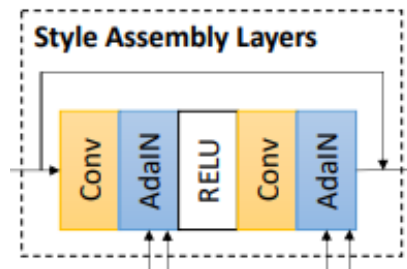
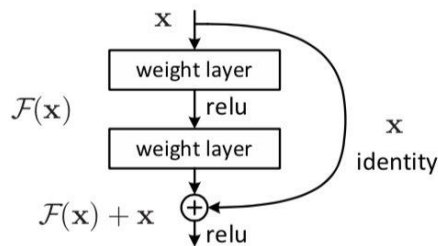
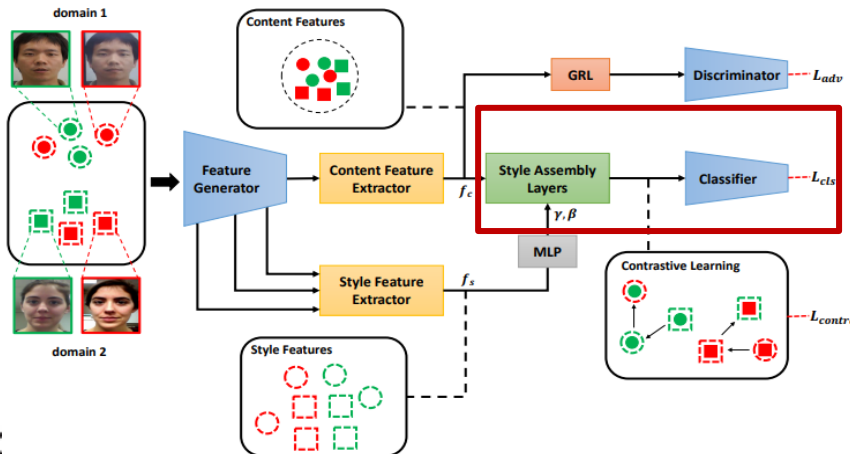


Figure 2. Residual learning: a building block.

# Domain Generalization via Shuffled Style Assembly for Face Anti-Spoofing

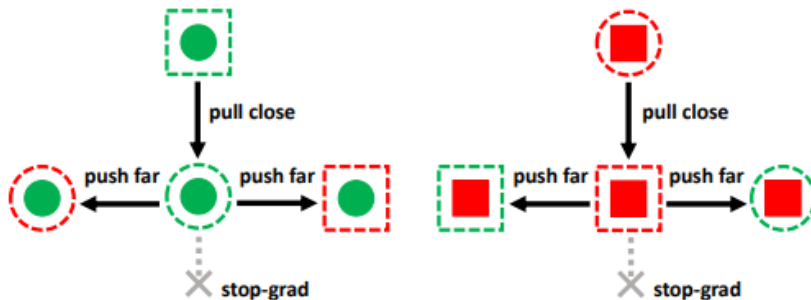
- Contrastive Learning for Stylized Features
  - Shuffled style assembly를 통해 generalization을 진행하는데 이 과정에서 style은 generalize한 style이 domain specific feature인지 liveness-related feature인지 불분명
    - liveness-related style feature를 강조하고 domain-specific feature를 suppress하기 위해 contrastive learning을 적용
  - Content & style feature를 combine함으로써 self-assembly feature  $S(x_i, x_i)$ , shuffle-assembly features  $S(x_i, x_{i*})$ 를 획득
    - Self-assembly feature는 live / spoofing에 대한 classification 네트워크에 입력
    - Shuffle-assembly feature는  $S(x_i, x_i)$ ,와  $S(x_i, x_{i*})$  간의 cosine similarity를 계산



$$Sim(a, b) = \frac{a \cdot b}{\|a\|_2 \cdot \|b\|_2}$$

# Domain Generalization via Shuffled Style Assembly for Face Anti-Spoofing

- Contrastive Learning for Stylized Features
  - Self-assembly feature는  $S(x_i, x_i)$ 는 stylized features space의 anchor 역할
    - Anchor의 역할을 하는 feature는 고정되어야 하므로 stop-gradient가 적용
  - shuffle-assembly features  $S(x_i, x_{i*})$ 는 liveness information에 따라 guide됨
    - Live face와 spoofing attack간의 contrastive learning을 통해 live face와 spoofing attack feature들 간에 compact한 feature mapping을 구성하게 됨



$$L_{contra} = \sum_{i=1}^N Eq(x_i, x_{i*}) \cdot Sim(\text{stopgrad}(a), b)$$

$$Eq(x_i, x_{i*}) = \begin{cases} +1, & \text{label}(x_i) == \text{label}(x_{i*}) \\ -1, & \text{otherwise.} \end{cases}$$

# Domain Generalization via Shuffled Style Assembly for Face Anti-Spoofing

- Experiments

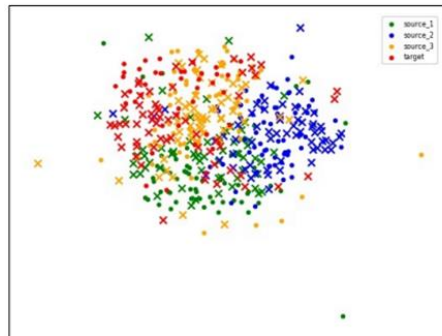
| Method                | O&C&I to M   |              | O&M&I to C   |              | O&C&M to I   |              | I&C&M to O   |              |
|-----------------------|--------------|--------------|--------------|--------------|--------------|--------------|--------------|--------------|
|                       | HTER(%)      | AUC(%)       | HTER(%)      | AUC(%)       | HTER(%)      | AUC(%)       | HTER(%)      | AUC(%)       |
| MMD-AAE [24]          | 27.08        | 83.19        | 44.59        | 58.29        | 31.58        | 75.18        | 40.98        | 63.08        |
| MADDG [41]            | 17.69        | 88.06        | 24.50        | 84.51        | 22.19        | 84.99        | 27.98        | 80.02        |
| SSDG-M [21]           | 16.67        | 90.47        | 23.11        | 85.45        | 18.21        | 94.61        | 25.17        | 81.83        |
| DR-MD-Net [48]        | 17.02        | 90.10        | 19.68        | 87.43        | 20.87        | 86.72        | 25.02        | 81.47        |
| RFMeta [42]           | 13.89        | 93.98        | 20.27        | 88.16        | 17.30        | 90.48        | 16.45        | 91.16        |
| NAS-FAS [60]          | 19.53        | 88.63        | 16.54        | 90.18        | 14.51        | 93.84        | <b>13.80</b> | <b>93.43</b> |
| D <sup>2</sup> AM [6] | 12.70        | 95.66        | 20.98        | 85.58        | 15.43        | 91.22        | 15.27        | 90.87        |
| SDA [50]              | 15.40        | 91.80        | 24.50        | 84.40        | 15.60        | 90.10        | 23.10        | 84.30        |
| DRDG [31]             | 12.43        | 95.81        | 19.05        | 88.79        | 15.56        | 91.79        | 15.63        | 91.75        |
| ANRL [30]             | 10.83        | <b>96.75</b> | 17.83        | 89.26        | 16.03        | 91.04        | 15.67        | 91.90        |
| <b>SSAN-M (Ours)</b>  | <b>10.42</b> | 94.76        | <b>16.47</b> | <b>90.81</b> | <b>14.00</b> | <b>94.58</b> | 19.51        | 88.17        |
| SSDG-R [21]           | 7.38         | 97.17        | 10.44        | 95.94        | 11.71        | 96.59        | 15.61        | 91.54        |
| <b>SSAN-R (Ours)</b>  | <b>6.67</b>  | <b>98.75</b> | <b>10.00</b> | <b>96.67</b> | <b>8.88</b>  | <b>96.79</b> | <b>13.72</b> | <b>93.63</b> |

# Domain Generalization via Shuffled Style Assembly for Face Anti-Spoofing

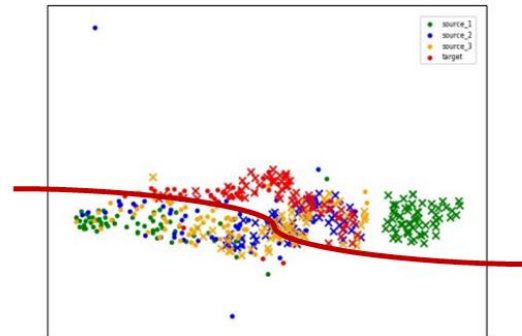
- Experiments

- Feature visualization

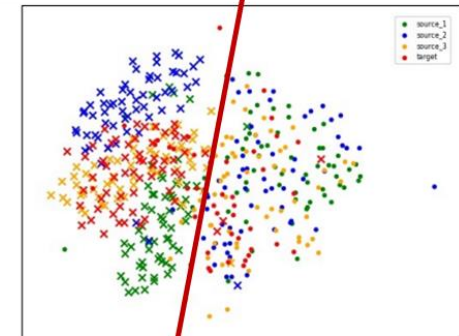
- Content features의 distribution은 compact하고 mixed되어 있는 형태로 나타남
      - ※ Adversarial learning을 통해 content feature의 기존 distribution 차이가 줄어들었음을 확인 가능
    - Style feature들 간에는 별도의 supervision이 없음에도 coarse boundary가 존재
      - ※ Contrastive learning의 효과로 liveness-related style feature가 emphasize됨
    - Stylized feature는 content와 style information을 combine한 feature로 unseen target domain에 대해서도 잘 generalize되었음을 확인 가능



(a) Content Features



(b) Style Features

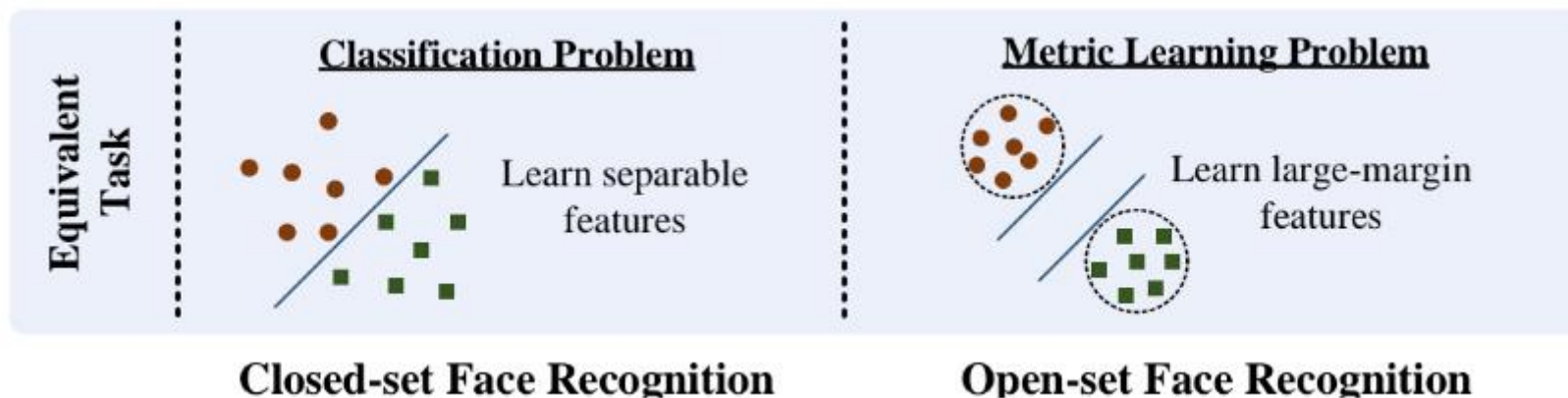


(c) Stylized Features

# PatchNet: A Simple Face Anti-Spoofing Framework via Fine-Grained Patch Recognition

- Preliminary

- 대규모 얼굴 인식을 위해 feature learning을 하는 데에 있어서 주요한 challenge 중 하나는 discriminative power를 강화하는 loss function의 설계임
- 기존의 softmax기반 loss는 closed-set 분류 문제에 대해서는 feature가 분류 될 수 있지만 open-set 환경에서 충분히 discriminative 하지 못함
- Angular margin softmax는 마지막 fully connected layer에서의 linear transformation matrix가 angular space에서 class의 중심을 나타내는 표현으로 사용 될 수 있다고 가정



# PatchNet: A Simple Face Anti-Spoofing Framework via Fine-Grained Patch Recognition

- Preliminary

- Example

- 얼굴 이미지 feature  $x = [10, 20, 30]$

- Feature를 입력으로 받았을 때, 2가지 identity로 분류하는 task를 진행하는 fully connected layer를 구성하는 matrix  $A = \begin{pmatrix} 1 & 2 & 3 \\ 4 & 5 & 6 \end{pmatrix}$

- ※ 이때 A의 행은 class의 개수, 열은 feature의 차원을 의미함

- ※ (1 2 3)은 첫 번째 identity의 중심, (4 5 6)은 두 번째 identity의 중심을 나타냄

- Fully connected layer를 통한  $xA^T$  연산 결과는  $(10*1 + 20*2 + 30*3 \quad 10*4 + 20*5 + 30*6)$

- ※ 이러한 과정을 통해 얼굴 이미지 feature 입력 시 각 identity에 대한 prediction score 계산

- 각 identity의 중심과 prediction score를 normalization한 결과는 각각  $(1/\sqrt{14} \quad 2/\sqrt{14} \quad 3/\sqrt{14})$ ,  $(4/\sqrt{77} \quad 5/\sqrt{77} \quad 6/\sqrt{77})$ ,  $(10/\sqrt{1400} \quad 20/\sqrt{1400} \quad 30/\sqrt{1400})$

- 이러한 과정을 통해 identity의 중심과 얼굴 이미지 feature의 prediction이 모두 중심이 (0,0,0)인 구 위에 mapping 됨

# PatchNet: A Simple Face Anti-Spoofing Framework via Fine-Grained Patch Recognition

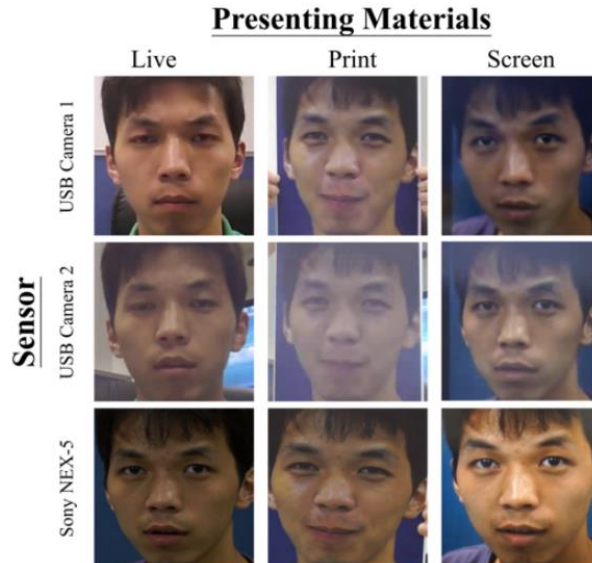
- Patch Features Extraction

- 해당 논문에서는 face image를 capturing devices와 presenting materials에 따라 category를 세분화 하여 fine-grained 환경으로 세분화함

- 예시로 CASIA-FASD 데이터 셋에는 2가지의 spoof medium과 3종류의 capturing device가 존재

- ※ 3개의 live types과 2\*3개의 spoof types으로 총 9개의 class로 나뉘어짐

- 이를 통해 해당 논문은 기존의 binary 관점의 구분이 아닌 세분화된 구분으로 학습된 robust한 네트워크를 구성함

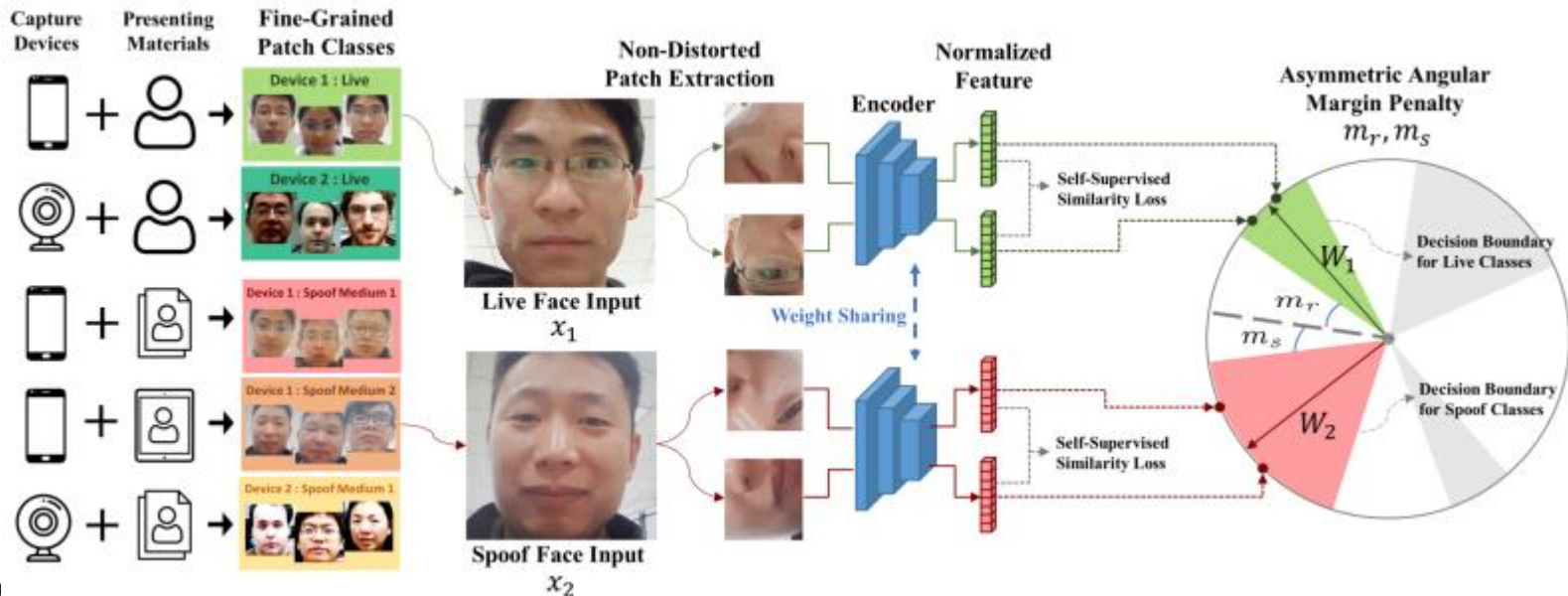




# PatchNet: A Simple Face Anti-Spoofing Framework via Fine-Grained Patch Recognition

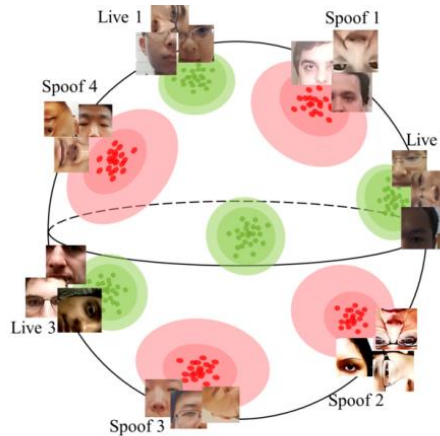
- Patch Features Extraction

- 해당 논문에서는 fine-grained patch를 얻는 데에 있어서 이미지의 distortion이나 spoof-related information을 잃는 것을 막기 위해 augmentation을 선별적으로 사용
  - Random horizontal flip, random rotation, fixed size cropping을 활용
- face region  $x_i$ 에 대하여 2개의 각기 다른 augmentation  $t_1, t_2$ 를 적용하여  $x_i^{t_1}, x_i^{t_2}$ 를 얻음



# PatchNet: A Simple Face Anti-Spoofing Framework via Fine-Grained Patch Recognition

- Fine-Grained patch Recognition
  - 학습 데이터 셋에 patch type classes가  $N$ 개가 있다고 가정 시  $k$ 개의 live class,  $N-k$ 의 spoof classes로 구성
    - 각각의 input patch는 해당  $y_i \in \{L_1, L_2, \dots, L_k, S_1, S_2, \dots, S_{N-k}\}$  중 하나의 class에 포함
  - Patch feature를 regularize하기 위해 AM-Softmax loss를 활용
    - Open-set identity에 최적화된 loss를 활용함으로써 generalization ability를 향상 시킴



Fine-Grained Patch-Type  
Recognition

# PatchNet: A Simple Face Anti-Spoofing Framework via Fine-Grained Patch Recognition

- Asymmetric AM-Softmax Loss

- AM-Softmax

- 기존 Softmax는 feature embedding에 대해 intra-class compactness가 얼굴 인식에 적용될 만큼 고려되지 않고 class 구분에만 초점이 맞추어져 있음
- AM-Softmax loss 를 활용하여 intra-class에서는 compact하면서 generalization 능력을 높임
- logit  $W_j^T f_i = \|W_j\| \|f_i\| \cos \theta_j$  로 변환
  - ※  $\theta_j$ 는  $W_j$ 와 feature  $f_i$  간의 각도

$$\begin{aligned} \mathcal{L}_S &= -\frac{1}{n} \sum_{i=1}^n \log \frac{e^{W_{y_i}^T f_i}}{\sum_{j=1}^c e^{W_j^T f_i}} \\ &= -\frac{1}{n} \sum_{i=1}^n \log \frac{e^{\|W_{y_i}\| \|f_i\| \cos(\theta_{y_i})}}{\sum_{j=1}^c e^{\|W_j\| \|f_i\| \cos(\theta_j)}} \end{aligned}$$

# PatchNet: A Simple Face Anti-Spoofing Framework via Fine-Grained Patch Recognition

- Asymmetric AM-Softmax Loss

- AM-Softmax

- $0 \leq \theta_1 \leq \frac{1}{m}$ 의 조건 하에  $\cos$ 함수는 단조 감소의 형태를 나타냄

- 따라서 함수에  $m$ 값을 크게 적용하게 되면  $\theta_1$ 의 범위가 줄어들고 더 compact한 구성으로써 margin을 크게 가져갈 수 있게 됨

- Margin을 직관적으로 간편하게 가져가기 위해서  $m$ 을 곱하는 형식이 아니라  $\cos \theta_{y_i} - m$ 으로 처리하여도 의미적으로 같은 뜻을 가짐

$$\mathbf{W}_1^T \mathbf{x} > \mathbf{W}_2^T \mathbf{x}$$

$$\|\mathbf{W}_1\| \|\mathbf{x}\| \cos(\theta_1) > \|\mathbf{W}_2\| \|\mathbf{x}\| \cos(\theta_2)$$

$$\|\mathbf{W}_1\| \|\mathbf{x}\| \cos(\theta_1) \geq \|\mathbf{W}_1\| \|\mathbf{x}\| \cos(m\theta_1)$$

$$> \|\mathbf{W}_2\| \|\mathbf{x}\| \cos(\theta_2).$$

$$(0 \leq \theta_1 \leq \frac{\pi}{m})$$

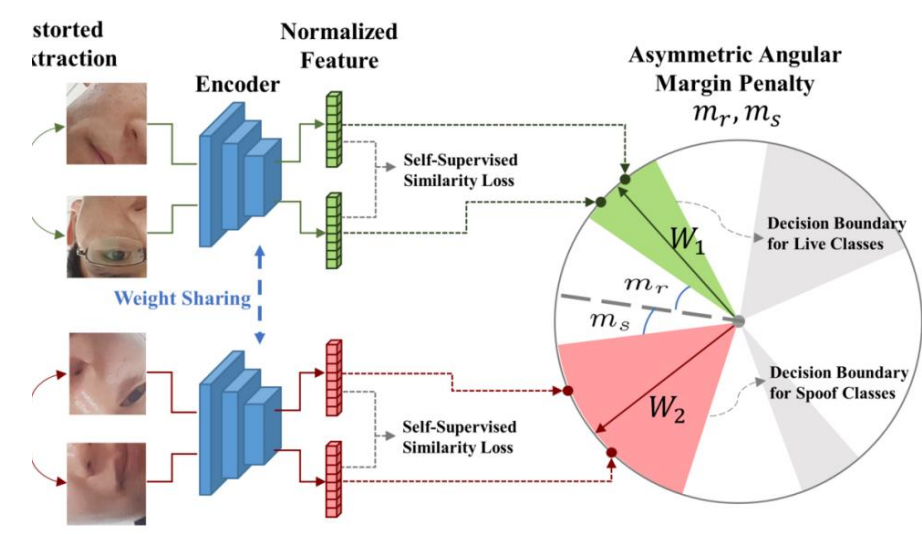
$$\begin{aligned} \mathcal{L}_{AMS} &= -\frac{1}{n} \sum_{i=1}^n \log \frac{e^{s \cdot (\cos \theta_{y_i} - m)}}{e^{s \cdot (\cos \theta_{y_i} - m)} + \sum_{j=1, j \neq y_i}^c e^{s \cdot \cos \theta_j}} \\ &= -\frac{1}{n} \sum_{i=1}^n \log \frac{e^{s \cdot (W_{y_i}^T f_i - m)}}{e^{s \cdot (W_{y_i}^T f_i - m)} + \sum_{j=1, j \neq y_i}^c e^{s W_j^T f_i}} \end{aligned}$$

# PatchNet: A Simple Face Anti-Spoofing Framework via Fine-Grained Patch Recognition

- Asymmetric AM-Softmax Loss
  - Spoofing의 패턴은 live sample에 비해 다양해 질 수 있기 때문에 distribution discrepancies 또한 spoofing sample이 더욱 큼
    - 이러한 특징을 feature space에서 realistic하게 반영하기 위해 AM-Softmax loss를 asymmetric하게 적용하여 FAS task에 더 적합하게 compact한 cluster를 구성
    - Live type에 lager angular margin을 적용하여 live type을 더 compact하게 구성

$$\mathcal{L}_{AAMS}(f_i) = \begin{cases} -\log \frac{e^{s \cdot (W_{y_i}^T f_i - m_l)}}{e^{s \cdot (W_{y_i}^T f_i - m_l)} + \sum_{j=1, j \neq y_i}^N e^{s \cdot W_j^T f_i}} & y_i \in L \\ -\log \frac{e^{s \cdot (W_{y_i}^T f_i - m_s)}}{e^{s \cdot (W_{y_i}^T f_i - m_s)} + \sum_{j=1, j \neq y_i}^N e^{s \cdot W_j^T f_i}} & y_i \in S \end{cases}$$

$$\mathcal{L}_{Asym} = -\frac{1}{n} \sum_{i=1}^n (\mathcal{L}_{AAMS}(f_i^{t_1}) + \mathcal{L}_{AAMS}(f_i^{t_2}))$$



# PatchNet: A Simple Face Anti-Spoofing Framework via Fine-Grained Patch Recognition

- Self-Supervised Similarity Loss

- 하나의 face image에서 얻어진 2개의 transformed patch views에 대해 self-supervised similarity loss를 적용

- Spoof-specific discriminative information이 전체 face region에 대하여 존재

- ※ 따라서 같은 face capture에서 얻어진 2개의 patch views의 feature가 유사한 특성을 지녀야함

- 해당 loss를 통해서 같은 이미지에서 얻어진 다른 patch 간의 location과 rotation으로 인한 feature의 정보 차이와 무관한 feature를 구성하게 만들

$$\mathcal{L}_{Sim}(f_i^{t1}, f_i^{t2}) = \frac{1}{n} \sum_{i=1}^n \|f_i^{t1} - f_i^{t2}\|_2$$

# PatchNet: A Simple Face Anti-Spoofing Framework via Fine-Grained Patch Recognition

- Testing Strategy

- Test 시에는 face image에서 uniform하게 crop(training에서의 crop size와 같게) 진행
- 이를 통해 하나의 face image에 대하여 P개의 patch features를 얻음( $f^1, f^2, \dots, f^P$ )
- 모든 patch features들에서 얻은 live class probabilities를 평균하여 하나의 face image에 대하여 live probability를 얻을 수 있음

$$LiveProb = \frac{1}{P} \sum_{i=1}^P \sum_{y \in L} Softmax(s \cdot W_y^T f^i)$$

# PatchNet: A Simple Face Anti-Spoofing Framework via Fine-Grained Patch Recognition

- Experiments

| Method                           | O&C&I to M  |              | O&M&I to C   |              | O&C&M to I  |              | I&C&M to O   |              |
|----------------------------------|-------------|--------------|--------------|--------------|-------------|--------------|--------------|--------------|
|                                  | HTER(%)     | AUC(%)       | HTER(%)      | AUC(%)       | HTER(%)     | AUC(%)       | HTER(%)      | AUC(%)       |
| PatchNet w/ coarse cls [12]      | 10.24       | 96.45        | 15.67        | 92.47        | 21.65       | 91.08        | 16.26        | 91.33        |
| PatchNet w/o margin              | 10.0        | 96.61        | 18.0         | 91.57        | 17.25       | 90.47        | 15.04        | 92.42        |
| PatchNet w/o $\mathcal{L}_{Sim}$ | 8.9         | 97.42        | 13.44        | 93.99        | 15.1        | 92.10        | 14.24        | 92.93        |
| <b>PatchNet (Ours)</b>           | <b>7.10</b> | <b>98.46</b> | <b>11.33</b> | <b>94.58</b> | <b>14.6</b> | <b>92.51</b> | <b>11.82</b> | <b>95.07</b> |

Table 7. Evaluations of different components of the proposed method on four cross-dataset protocols.

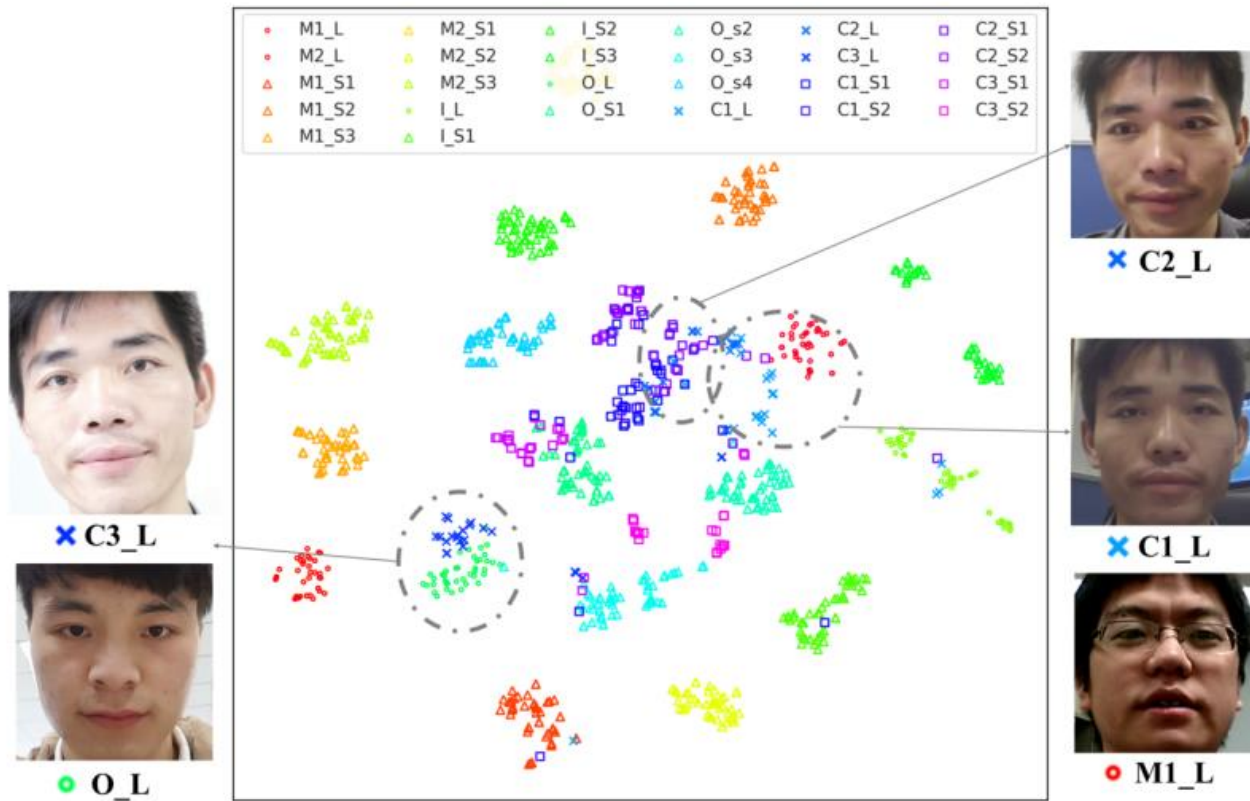
| Method                 | O&C&I to M  |              | O&M&I to C   |              | O&C&M to I   |              | I&C&M to O   |              |
|------------------------|-------------|--------------|--------------|--------------|--------------|--------------|--------------|--------------|
|                        | HTER(%)     | AUC(%)       | HTER(%)      | AUC(%)       | HTER(%)      | AUC(%)       | HTER(%)      | AUC(%)       |
| Auxiliary [18]         | 22.72       | 85.88        | 33.52        | 73.15        | 29.14        | 71.69        | 30.17        | 77.61        |
| MADDG [20]             | 17.69       | 88.06        | 24.50        | 84.51        | 22.19        | 84.99        | 27.89        | 80.02        |
| PAD-GAN [24]           | 17.02       | 90.10        | 19.68        | 87.43        | 20.87        | 86.72        | 25.02        | 81.47        |
| RFM [21]               | 13.89       | 93.98        | 20.27        | 88.16        | 17.30        | 90.48        | 16.45        | 91.16        |
| NAS-FAS [31]           | 16.85       | 90.42        | 15.21        | 92.64        | <b>11.63</b> | <b>96.98</b> | 13.16        | 94.18        |
| SSDG-R [12]            | 7.38        | 97.17        | 10.44        | 95.94        | 11.71        | 96.59        | 15.61        | 91.54        |
| ANRL [14]              | 16.03       | 91.04        | <b>10.83</b> | <b>96.75</b> | 17.85        | 89.26        | 15.67        | 91.90        |
| DRDG [15]              | 15.56       | 91.79        | 12.43        | 95.81        | 19.05        | 88.79        | 15.63        | 91.75        |
| <b>PatchNet (Ours)</b> | <b>7.10</b> | <b>98.46</b> | 11.33        | 94.58        | 13.4         | 95.67        | <b>11.82</b> | <b>95.07</b> |

Table 8. Comparison results between the proposed PatchNet and state-of-the-art methods on four domain generalization protocols.



# PatchNet: A Simple Face Anti-Spoofing Framework via Fine-Grained Patch Recognition

- Experiments



감사합니다